

目录

01

理论

模拟

02

03

实验

应用

04

05

参考文献

I.理论

- 海尔贝克阵列是一种磁体结构，目标是用最少量的磁体产生最强的磁场。1979年，美国学者Klaus Halbach做电子加速实验时，发现了这种特殊的永磁铁结构，并逐步完善这种结构，最终形成了所谓的“Halbach”磁铁。这种排布有线性（如图1）和环形（如图2）。本文主要对磁环进行探究。

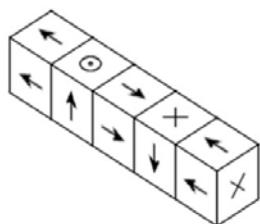


图1 (图片来源于网络)

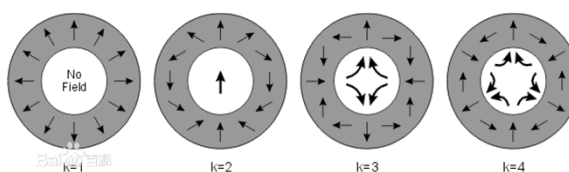


图2 (图片来源于网络)

- 本文的模型是由24块方形永磁铁组成的海尔贝克阵列，概念图如下：

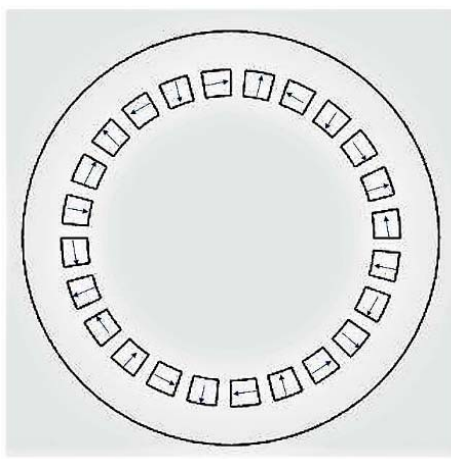


图3 (概念图)

- 永磁铁视为均匀磁化的，内部M处处相同，边长为a,将模型型为并排方形电流，如图4，先计算一个方形电流环的空间磁场，如图5:

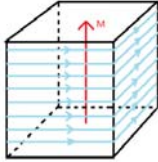


图4

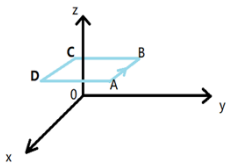


图5

AB段电流在空间 (x',y',z') 点产生的磁场为:

$$\vec{B} = \int_{-\frac{a}{2}}^{\frac{a}{2}} \frac{u_0 I (-dx, 0, 0) \times (x' - x, y' - \frac{a}{2}, z' - z)}{4\pi [(x' - x)^2 + (y' - \frac{a}{2})^2 + (z' - z)^2]^{\frac{3}{2}}}$$

积分得:

$$B_{x1} = 0$$

$$B_{y1} = \frac{u_0 I (z' - z)}{4\pi t^2} \left[\frac{-x' - \frac{a}{2}}{\sqrt{(x' + \frac{a}{2})^2 + t^2}} - \frac{\frac{a}{2} - x'}{\sqrt{(x' - \frac{a}{2})^2 + t^2}} \right]$$

$$B_{z1} = \frac{u_0 I (\frac{a}{2} - y')}{4\pi t^2} \left[\frac{-x' - \frac{a}{2}}{\sqrt{(x' + \frac{a}{2})^2 + t^2}} - \frac{\frac{a}{2} - x'}{\sqrt{(x' - \frac{a}{2})^2 + t^2}} \right]$$

$$\text{其中 } t^2 = (y' - \frac{a}{2})^2 + (z' - z)^2$$

同理BC段:

$$B_{x2} = \frac{u_0 I (z' - z)}{4\pi t^2} \left[\frac{y' + \frac{a}{2}}{\sqrt{(y' + \frac{a}{2})^2 + t^2}} - \frac{-\frac{a}{2} + y'}{\sqrt{(y' - \frac{a}{2})^2 + t^2}} \right]$$

$$B_{y2} = 0$$

$$B_{z2} = \frac{u_0 I (\frac{a}{2} + x')}{4\pi t^2} \left[\frac{-y' - \frac{a}{2}}{\sqrt{(y' + \frac{a}{2})^2 + t^2}} - \frac{\frac{a}{2} - y'}{\sqrt{(y' - \frac{a}{2})^2 + t^2}} \right]$$

$$\text{其中 } t^2 = (x' + \frac{a}{2})^2 + (z' - z)^2$$

CD段: $B_{x3} = 0$

$$B_{y3} = \frac{u_0 I (z' - z)}{4\pi t^2} \left[\frac{-x' - \frac{a}{2}}{\sqrt{(x' + \frac{a}{2})^2 + t^2}} - \frac{\frac{a}{2} - x'}{\sqrt{(x' - \frac{a}{2})^2 + t^2}} \right]$$

$$B_{z3} = \frac{u_0 I (\frac{a}{2} + y')}{4\pi t^2} \left[\frac{-x' - \frac{a}{2}}{\sqrt{(x' + \frac{a}{2})^2 + t^2}} - \frac{\frac{a}{2} - x'}{\sqrt{(x' - \frac{a}{2})^2 + t^2}} \right]$$

$$\text{其中 } t^2 = (y' + \frac{a}{2})^2 + (z' - z)^2$$

DA段:

$$B_{x4} = \frac{u_0 I (z' - z)}{4\pi t^2} \left[\frac{y' + \frac{a}{2}}{\sqrt{(y' + \frac{a}{2})^2 + t^2}} - \frac{-\frac{a}{2} + y'}{\sqrt{(y' - \frac{a}{2})^2 + t^2}} \right]$$

$$B_{y4} = 0$$

$$B_{z4} = \frac{u_0 I (\frac{a}{2} - x')}{4\pi t^2} \left[\frac{-y' - \frac{a}{2}}{\sqrt{(y' + \frac{a}{2})^2 + t^2}} - \frac{\frac{a}{2} - y'}{\sqrt{(y' - \frac{a}{2})^2 + t^2}} \right]$$

其中 $t^2 = (x' - \frac{a}{2})^2 + (z' - z)^2$

对于并排电流,

$$B_x = \int_{-\frac{a}{2}}^{\frac{a}{2}} \frac{(B_{x2} + B_{x4}) dz}{a}$$

$$B_y = \int_{-\frac{a}{2}}^{\frac{a}{2}} \frac{(B_{y1} + B_{y3}) dz}{a},$$

$$B_z = \int_{-\frac{a}{2}}^{\frac{a}{2}} \frac{(B_{z1} + B_{z2} + B_{z3} + B_{z4}) dz}{a}$$

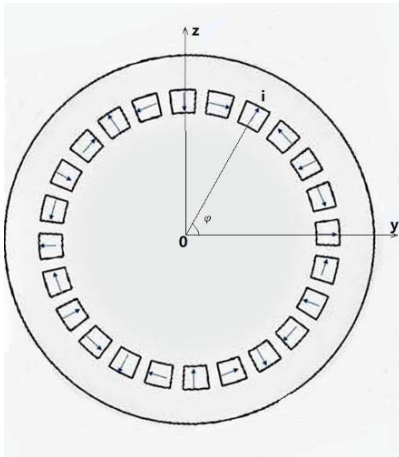
积分后得

$$B_x = -\frac{u_0 I}{2a\pi} \left((y' + \frac{a}{2}) \operatorname{atanh} \left(\frac{\sqrt{(x' + \frac{a}{2})^2 + (y' + \frac{a}{2})^2} - \sqrt{(z - z')^2 + (x' + \frac{a}{2})^2 + (y' + \frac{a}{2})^2}}{|x' + \frac{a}{2}| - \sqrt{(z - z')^2 + (x' + \frac{a}{2})^2}} \right) + (y' - \frac{a}{2}) \operatorname{atanh} \left(\frac{\sqrt{(x' + \frac{a}{2})^2 + (y' - \frac{a}{2})^2} - \sqrt{(z - z')^2 + (x' + \frac{a}{2})^2 + (y' - \frac{a}{2})^2}}{|x' + \frac{a}{2}| - \sqrt{(z - z')^2 + (x' + \frac{a}{2})^2}} \right) + (y' + \frac{a}{2}) \operatorname{atanh} \left(\frac{\sqrt{(y' + \frac{a}{2})^2 + (x' - \frac{a}{2})^2} - \sqrt{(z - z')^2 + (y' + \frac{a}{2})^2 + (x' - \frac{a}{2})^2}}{|x' - \frac{a}{2}| - \sqrt{(z - z')^2 + (x' - \frac{a}{2})^2}} \right) + (y' - \frac{a}{2}) \operatorname{atanh} \left(\frac{\sqrt{(y' - \frac{a}{2})^2 + (x' - \frac{a}{2})^2} - \sqrt{(z - z')^2 + (y' - \frac{a}{2})^2 + (x' - \frac{a}{2})^2}}{|x' - \frac{a}{2}| - \sqrt{(z - z')^2 + (x' - \frac{a}{2})^2}} \right) \right) \Big|_{-\frac{a}{2}}^{\frac{a}{2}}$$

$$\begin{aligned}
B_y &= -\frac{u_0 I}{2a\pi} \left((-x' - \frac{a}{2}) \operatorname{atanh} \left(\frac{\sqrt{(x' + \frac{a}{2})^2 + (y' - \frac{a}{2})^2} - \sqrt{(z - z')^2 + (x' + \frac{a}{2})^2 + (y' - \frac{a}{2})^2}}{|y' - \frac{a}{2}| - \sqrt{(z - z')^2 + (y' - \frac{a}{2})^2}} \right) + (x' \right. \\
&\quad \left. - \frac{a}{2}) \operatorname{atanh} \left(\frac{\sqrt{(x' - \frac{a}{2})^2 + (y' - \frac{a}{2})^2} - \sqrt{(z - z')^2 + (x' - \frac{a}{2})^2 + (y' - \frac{a}{2})^2}}{|y' - \frac{a}{2}| - \sqrt{(z - z')^2 + (y' - \frac{a}{2})^2}} \right) + (-x' \right. \\
&\quad \left. - \frac{a}{2}) \operatorname{atanh} \left(\frac{\sqrt{(y' + \frac{a}{2})^2 + (x' + \frac{a}{2})^2} - \sqrt{(z - z')^2 + (y' + \frac{a}{2})^2 + (x' + \frac{a}{2})^2}}{|y' + \frac{a}{2}| - \sqrt{(z - z')^2 + (y' + \frac{a}{2})^2}} \right) + (x' \right. \\
&\quad \left. - \frac{a}{2}) \operatorname{atanh} \left(\frac{\sqrt{(y' + \frac{a}{2})^2 + (x' - \frac{a}{2})^2} - \sqrt{(z - z')^2 + (y' + \frac{a}{2})^2 + (x' - \frac{a}{2})^2}}{|y' + \frac{a}{2}| - \sqrt{(z - z')^2 + (y' + \frac{a}{2})^2}} \right) \right) \frac{a}{2}
\end{aligned}$$

Z方向磁场的符号解matlab未能解出。

回到原来的海尔贝克阵列，圆心为坐标原点，刚才已经得到一块磁铁的磁场分布，对于24块磁铁，只需利用叠加原理，值得注意的是，对于每块磁铁的磁场分布，在换到现在的坐标架时，都应乘上一个旋转矩阵和平移变换。如下图：



设与y轴正方向相交的磁铁规定为1号，按逆时针排号， $\varphi = (i - 1) \frac{\pi}{12}$ ，则在这个坐标下点 (x, y, z) 对应原i号磁铁坐标架的

$$(x_1, y_1, z_1)^T = \begin{pmatrix} 0 & 0 & 0 \\ 0 & \cos\theta & -\sin\theta \\ 0 & \sin\theta & \cos\theta \end{pmatrix} (x, y - l\cos\varphi, z - l\sin\varphi)^T$$

其中 θ 为旋转角，第i个磁铁对应的旋转角 $\theta_i = \frac{\pi}{2} - \varphi + \frac{\pi}{2}(i - 1) = \frac{\pi}{2} + (i - 1) \frac{5\pi}{12}$

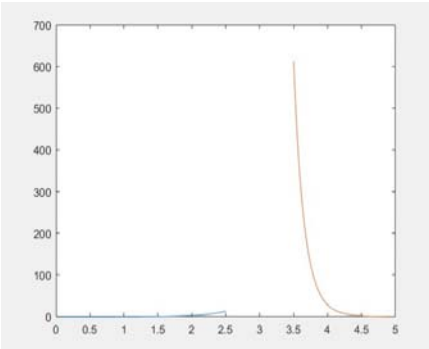
而换坐标架后的磁场为

$$\begin{aligned}
B_{y0} &= \sqrt{B_y^2 + B_z^2} \sin\left(\arctan\left(\frac{B_y}{B_z}\right) - \theta\right) \\
B_{z0} &= \sqrt{B_y^2 + B_z^2} \cos\left(\arctan\left(\frac{B_y}{B_z}\right) - \theta\right)
\end{aligned}$$

2 模拟

下面求y轴上的磁场的数值解，核心代码如下：

```
const double a=5.0,pi=3.1415926535;
double atanh(double x){
    return 0.5*log((x+1)/(1-x));
}
double magneticfieldz(double y,double z){
    double f=0.0,zz,f1,f2,f3,f4;
    for(zz=-a/2;zz<=a/2;zz+=0.001){
        f1=sqrt(a*a/4+(y-a/2)*(y-a/2)+(zz-z)*(zz-z));f2=sqrt(a*a/4+(y+a/2)*(y+a/2)+(zz-z)*(zz-z));
        f+=(a/2-y)*(-a)/f1+(a/2)*((-y-a/2)/f2-(a/2-y)/f1)+(a/2+y)*(-a)/f2+(a/2)*((-y-a/2)/f2-(a/2-y)/f1);
        f*=0.001;
    }
    return f/2;
}
double magneticfielddz(double y,double z){
    double f=0.0,zz=a/2,f1,f2,f3,f4,f5,f6;
    f1=sqrt(a*a/4+(y-a/2)*(y-a/2));f2=sqrt(a*a/4+(y+a/2)*(y+a/2));
    f3=sqrt(a*a/4+(y-a/2)*(y-a/2)+(zz-z)*(zz-z));f4=sqrt(a*a/4+(y+a/2)*(y+a/2)+(zz-z)*(zz-z));
    f5=sqrt((y-a/2)*(y-a/2)+(zz-z)*(zz-z));f6=sqrt((y+a/2)*(y+a/2)+(zz-z)*(zz-z));
    f+=(-a)*atanh((f1-f3)/(abs(y-a/2)-f5));f+=(-a)*atanh((f2-f4)/(abs(y+a/2)-f6));
    zz=-a/2;
    f1=sqrt(a*a/4+(y-a/2)*(y-a/2));f2=sqrt(a*a/4+(y+a/2)*(y+a/2));
    f3=sqrt(a*a/4+(y-a/2)*(y-a/2)+(zz-z)*(zz-z));f4=sqrt(a*a/4+(y+a/2)*(y+a/2)+(zz-z)*(zz-z));
    f5=sqrt((y-a/2)*(y-a/2)+(zz-z)*(zz-z));f6=sqrt((y+a/2)*(y+a/2)+(zz-z)*(zz-z));
    f+=(-a)*atanh((f1-f3)/(abs(y-a/2)-f5));f+=(-a)*atanh((f2-f4)/(abs(y+a/2)-f6));
    return -f;
}
int main(){
    int i;double y,z,by=0.0,bz=0.0,by0,u=0,uu=0;
    for(y=0,z=0;y<=5;y+=0.1){
        by0=0.0;
        for(i=1;i<=20;i++){
            uu=pi/2+(i-1)*pi/12;
            u=(i-1)*pi/12;
            by=magneticfieldz(cos(u)*(y-30*cos(u))-sin(u)*(z-30*sin(u)),sin(u)*(y-30*cos(u))+cos(u)*(z-30*sin(u)));
            bz=magneticfielddz(cos(u)*(y-30*cos(u))-sin(u)*(z-30*sin(u)),sin(u)*(y-30*cos(u))+cos(u)*(z-30*sin(u)));
            by0+=sqrt(by*by+bz*bz)*sin(atan(bz/by)-u);
        }
        printf("%11f %11f\n",y,by0);
    }
    return 0;
}
```



Y轴上B关于y的关系图。

利用comsol模拟可以得到更直观的图例，如下：

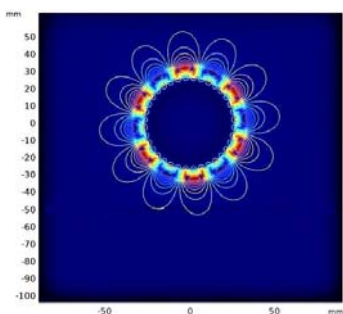


图6 (磁场线)

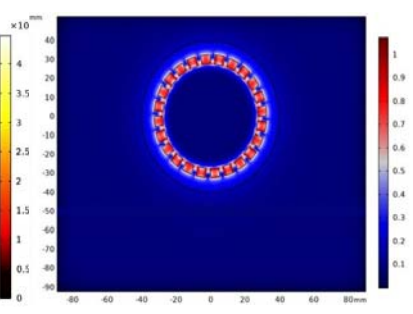


图7 (磁场强度分布)

三 实验

- 装置：24个5*5*5mm的方形磁铁，3D打印的圆环框架（磁铁空位位于距圆心30mm处）。
- 组建如下：



图8（磁环）



图9（特斯拉计）

测量了轴线上的磁场，并用tracker提取了数据，根据所测的数据绘制图11：

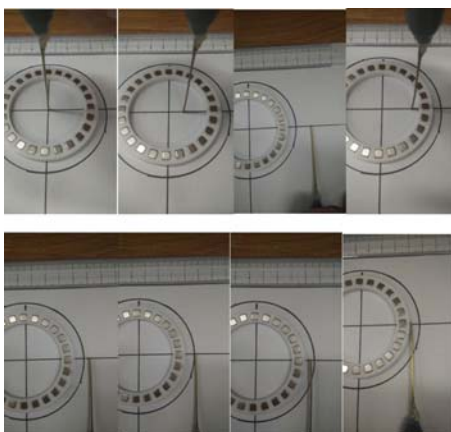


图10（部分实验图）

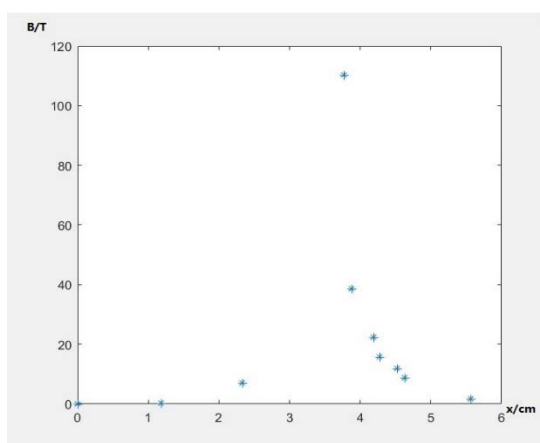


图11

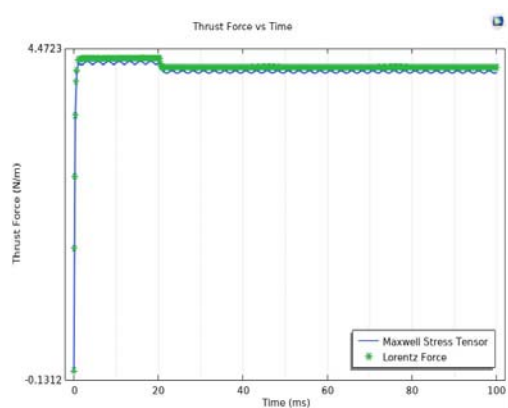
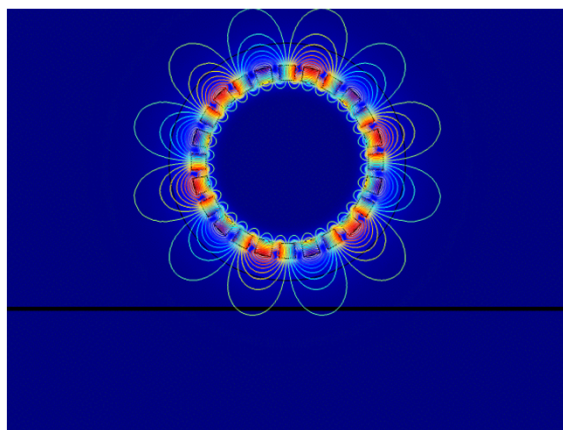
可以看出与理论曲线大致相符，磁场集中在磁铁附近，当离磁环距离渐远时，磁场迅速衰减，在磁环内部，其中心处磁场很小。

四 应用

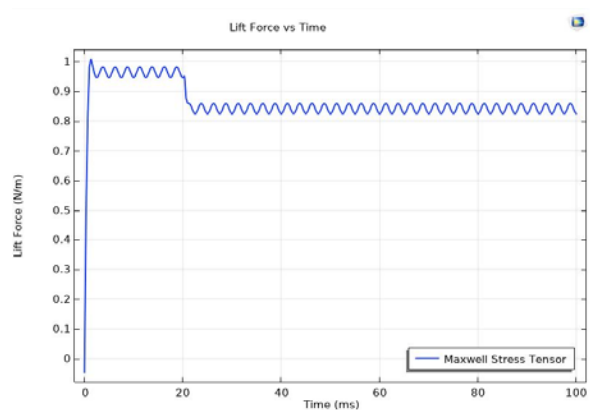
这种磁铁阵列由于其较好集中磁场，可以用于磁悬浮列车。当磁环有一转动的角速度时，将其放于导体轨道上，导体会产生感应电流，进而提供悬浮力，和推力，但其转速会减小，故只需将以电机放于磁环中间使其维持转动，便可有持续推力。

下面利用COMSOL进行模拟（模拟的情形时给定初始2000转/min,计算其之后受力,模拟是基于对案例库现存模型的修改）。

结果如下图：



推力



升力

五 参考文献

- [1].海尔贝克阵列百度百科: <https://baike.baidu.com/item/海尔贝克阵列/4092015?fr=aladdin>
- [2]. "static_field_halbach_rotor" from COMSOL AC/DC
- [3]. "edw_maglev_omega_step" from COMSOL AC/DC
- [4]. 胡友秋, 程福臻, 叶邦角编著, 电磁学与电动力学, 上【M】. 科学出版社. 2008

THANK YOU